

酸化反応は平衡に到達していることが予測された。

4.2 酸化速度

i) 一般に中性、塩基性、酸性の順に酸化速度は小さくなる。

ii) 酸素分圧との関係

酸化初期；酸素分圧に比例して大となる。

酸化後期；著しい影響なし。

iii) 塩基度との関係

酸化初期； $(\text{CaO})/(\text{SiO}_2) = 0.4 \sim 1.0$ では増大する。 $(\text{CaO})/(\text{SiO}_2) = 1.0 \sim 1.3$ ではやや低下する。この理由については $\text{FeO}-\text{SiO}_2-\text{CaO}$ 系鋼滓では $(\text{CaO})/(\text{SiO}_2) = 1$ において粘性が極小値を示し⁶⁾、 FeO の活量が極大値を示しているため、鋼滓の酸化が促進されるためと考えられる。酸化後期；明瞭な関係なし。

なお上記のごとく酸化初期と後期とでは酸化速度に及ぼす各因子の影響の程度が異なるから、両時期においては鋼滓の酸化反応の機構が異なるものと考えられる、したがつて鋼滓の酸化反応の機構を明らかにするには、各時期における酸化反応の律速段階についてさらに深く検討する必要があると考えられる。

文 献

- 1) 郡司、榎井：鉄と鋼，50，(1964) 11, p. 1831.
- 2) H. LARSON & J. CHIPMAN: J. Metals, Sept. (1953) p. 1089.
- 3) F. D. RICHARDSON: Physical Chemistry of Process Metallurgy, Faraday Society, (1948) 4, p. 244.
- 4) WHITE: Iron Steel Inst. Carnegie Mem., (1938), 271.
- 5) J. CHIPMAN: Trans. Amer. Soc. Metals, (1941), p. 964.
- 6) 沢村宏：理論鉄冶金学(昭30)丸善。
- 7) E. T. TURKDOGAN & J. PEARSON: J. Iron & Steel Inst. (U. K.), 173 (1953), p. 217.

(96) MO-FeO-SiO₂ 系スラッガ中の FeO の活量について

名古屋大学工学部

○小島 康・理博 佐野 幸吉
On the Activity of Iron Oxide in the Slags MO-FeO-SiO₂ Systems.

Yasushi KOJIMA and Dr. Kōkichi SANO

1. 緒 言

スラッガ相中の各種金属酸化物の個々の成分の濃度変化によつてスラッガの化学的性質や物理的性質にいかなる影響をおよぼすかを明らかにできれば製鋼反応の熱力学的な考察は比較的容易になるであろうし、また造塊時に発生する2次介在物の化学的性質も推察¹⁾し得る。しかし溶融状態でスラッガの化学的組成や性質を測定する適当な方法は高温のために限られており容易でない。

先に著者²⁾らは珪酸飽和スラッガと溶鋼との間のクロムの分配係数およびマンガンの脱酸恒数について報告を行なつた。これらクロムの分配係数やマンガンの脱酸恒

数は従来スラッガ中の FeO 濃度の関数として表わされ用いられてきた。しかしそスラッガ中に酸化クロムが溶解すると、これらの値は単純に FeO 濃度の関数として表わすことができず FeO 濃度の代りに FeO の活量を関数として用いなければならないことを示した。

溶鋼中酸素濃度とスラッガ中 FeO 濃度との間には、密接な関連があり3元系スラッガと酸素濃度の間の関係についてはすでにいろいろな報告が見受けられる。著者らは珪酸飽和スラッガ中の FeO 濃度と酸素濃度の関係におよぼす、 CaO , Al_2O_3 , MnO および CrO の影響を調べた。またこれらの酸化物が FeO の活量にどのように影響するかを調べた結果を報告する。

2. 実験装置および方法

実験装置および方法についてはすでに発表³⁾したものと同じである。水銀間隙火花式高周波炉とガス洗浄装置からなつている。使用したルッボはシリカルツボである。シリカルツボをアルミナ保護ルツボの中へシリカ粉でスタンプし、この中へ SiO_2 , Fe_2O_3 および CaO , Al_2O_3 , MnO_2 , Cr_2O_3 の内一種類の酸化物を総量で約20g, 電解鉄、鉄珪素合金(72%)および金属酸化物に対応する金属を全量で約150g 秤量し、ともに装入した。これをアルゴンガス雰囲気中で1600°Cに反応系を1hr 保持し、スラッガ-メタル反応を平衡に達せしめた。

温度の測定には PtRh(5%)-PtRh(20%)熱電対を用いた。

溶鐵を3mmの石英管で吸上げ水中で急冷し試料を採取した。スラッガは炉内でアルゴン雰囲気中で自然放冷を行ない。冷却後取り出し細く砕き分析試料とした。

3. 実験結果

MO-FeO-SiO₂系(MOは金属酸化物を示し、 CaO , Al_2O_3 , MnO および CrO あるいは Cr_2O_3 を表わしている。以下簡単にするために、それぞれ Ca-系、Al-系……などと略す)における飽和シリカ濃度におよぼすい

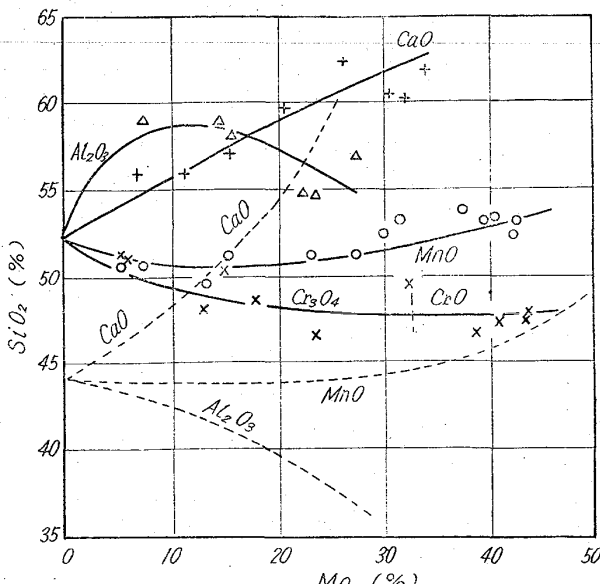


Fig. 1. The effects of the various oxides on the solubilities of silica in the slag saturated with silica at 1600°C. Broken lines obtained by Schenck at 1540°C.

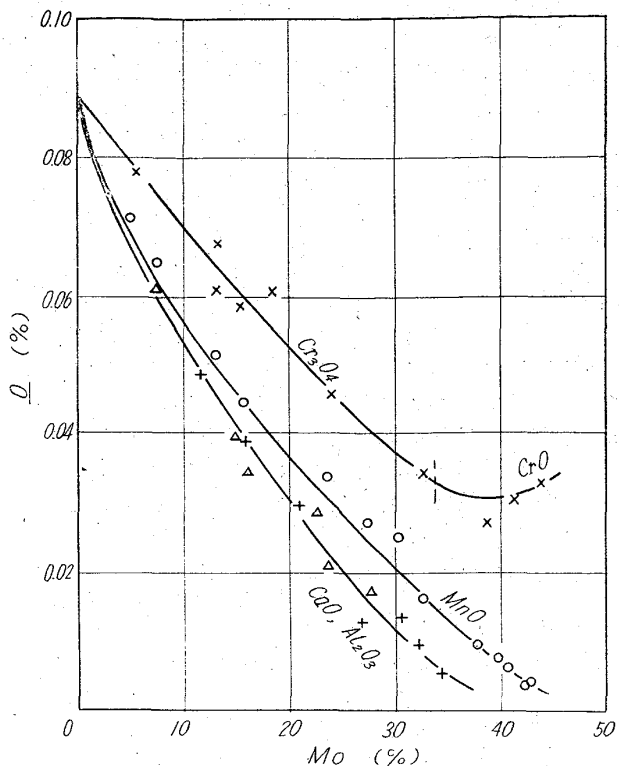


Fig. 2. The effects of the various oxides on the solubilities of oxygen in the liquid iron at 1600°C.

いろいろの金属酸化物の影響を求めて Fig. 1 に示した。FeO-SiO₂ 系スラグに CaO が溶解すると飽和シリカ濃度は直線的に増加する。1540°C における H. SCHENCK⁴⁾ によって求められたこの関係は本研究結果と傾向は同じであるが増加率は彼らの値が大きい。

アルミナが FeO-SiO₂ 系に溶解すると、急激に飽和シリカ濃度は増加し、更にアルミナが 15% 以上になると減少し始めてアルミナが 30% 以上になると状態図⁵⁾からも理解できるがこの系の融点が上昇し 1600°C では固体の Mullite ($3\text{Al}_2\text{O}_3 \cdot 2\text{SiO}_2$) が析出し始め均一な相のスラグができず平衡実験は遂行できなかつた。

Al-系スラグは Al₂O₃ が増加するにしたがい融点が下降し約 20% で最低値になり再び上昇し、約 30% 以上になると実験温度以上になる。したがつてシリカの飽和溶解度が一時的に増加し、融点の上昇とともに減少すると考えられる。それゆえに 1540°C における SCHENCK ら⁴⁾の結果が単調に減少していることからシリカが飽和に達していないなかつたのではないかと推察される。

金属酸化物の溶解により、酸素濃度がどのように変化するかを Fig. 2 に示した。Ca, Al および Mn-系はそれぞれ類似した傾向を示すが Cr-系では添加酸化物が増加するにもかかわらず酸素濃度は減少から増加へとの傾向を転ずる。

飽和シリカ濃度が添加金属酸化物によって影響を受けなければスラグ中の FeO 濃度は、

$$(\%) \text{FeO} = 48 - (\%) \text{MO}$$

となり簡単に Fig. 2 の横軸の座標を転換すれば、FeO 濃度と酸素濃度の関係はそのまま成立するが、Fig. 1 に

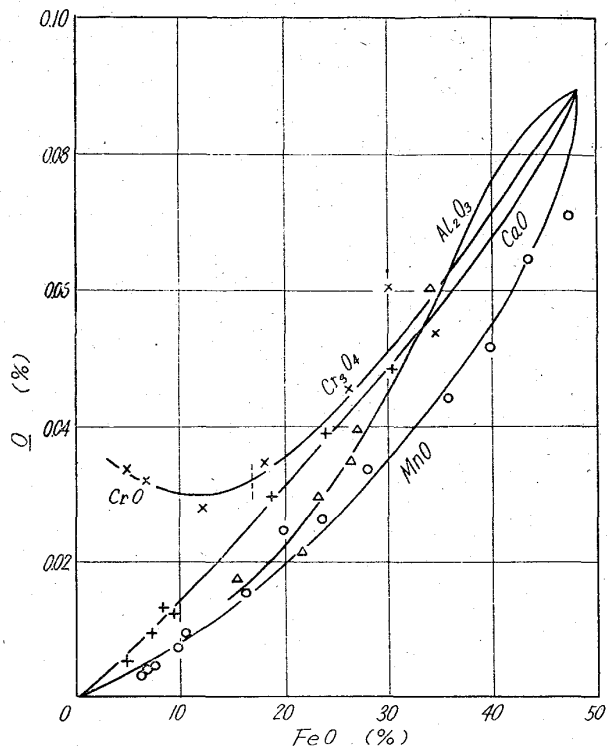


Fig. 3. The relation between the solubilities of oxygen and the iron oxide at 1600°C.

示したようにシリカ濃度は変化する。したがつてこの関係は Fig. 2 の座標転換では求められない。

FeO 濃度と酸素濃度との関係を Fig. 3 に示した。飽和シリカ濃度の変化のために Mn-系と Al-および Ca-系の相互位置が逆転する。また Al-系と Ca-系の関係も変化する。

Cr 系においては FeO 濃度が減少するにもかかわらず、酸素濃度が増加しほかの系と異なつた傾向を示す。

4. 考 察

一般的にスラグ中の FeO の活量はスラグと平衡している溶鉄中の酸素濃度から計算し得る。すなわち、純粋な FeO(*l*) と平衡関係にある溶鉄中の酸素濃度を [%O]_{sat} と表わすと、多種の酸化物からなるスラグ中の FeO の活量は次式にしたがつて計算し得る。

$$\log a_{\text{FeO}} = \log [\% \text{O}]_{\text{obs}} - \log [\% \text{O}]_{\text{sat}}$$

ここで [%O]_{obs} は多種の酸化物からなるスラグと平衡している溶鉄中の酸素濃度である。しかし溶鉄中の酸素の活量に著しく影響をおよぼす元素、すなわち珪素やクロムなどが共存する場合には、FeO の活量を求める場合に重量パーセントの代りに酸素の活量を上式に用いなければならない。

TAYLOR と CHIPMAN⁶⁾ によって求められた純粋な FeO(*l*) と平衡している酸素の飽和溶解度は

$$\log [\% \text{O}]_{\text{sat}} = -6320/T + 2.734$$

また坂尾、佐野⁷⁾によって報告された酸素の活量係数と組合せることによつて $a_{\text{O}(\text{sat})}$ を各温度につき求めることができる。

本報告で取扱つたいろいろの系の酸素の活量を次のようにして求めた。

Al-系での 1600°C における実験酸素濃度範囲では溶

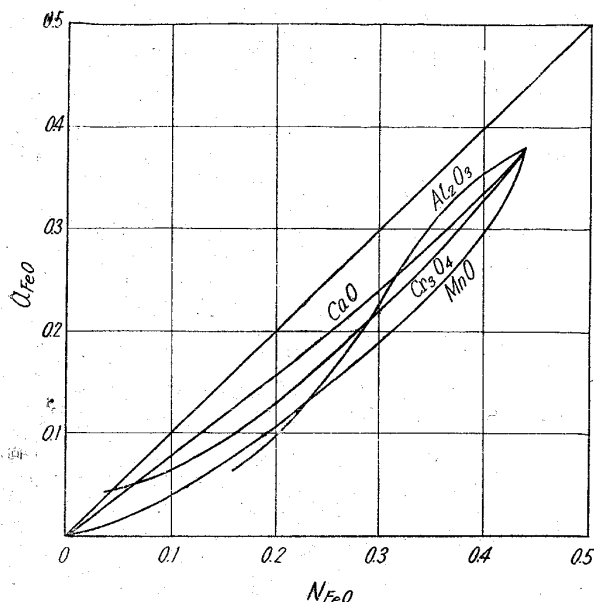
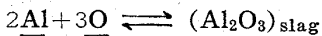


Fig. 4. The relation between the iron oxide and the mole fraction of the iron oxides in the slag saturated with silica.

鉄中の珪素濃度は最大で 0.15% であり近似的には活量計算においてほとんど無視できる。また



上式にしたがつて溶解するアルミニウムは分析によつても極めて少なく、また上式の平衡恒数⁸⁾からの計算によつても濃度が小さく活量計算においては無視した。

Ca-系においても Al-系と同様に溶鉄中に溶解するカルシウムは極く少量であるので無視した。酸素濃度が低くなるにしたがい、溶鉄中の珪素濃度は増加する。この場合には、珪素の酸素におよぼす相互作用係数⁹⁾を用いて計算した。

Mn-系¹⁰⁾や Cr-系¹¹⁾についてすでに著者らが珪素-酸素の平衡について報告し、その中で酸素の活量の計算方法をすでに報告してあるのでここでは省略した。

酸素の活量の比から求めた α_{FeO} とスラグ中の FeO のモル濃度との関係を Fig. 4 に示した。

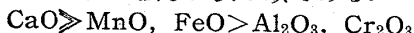
溶鉄中にクロムが増加するにしたがい最初クロムの脱酸作用により酸素濃度が減少する。酸素濃度はクロムが 5~10% で最低となり再び増加する。したがつて酸化クロムがスラグ中に増加し FeO が減少するにもかかわらず酸素濃度は増加する。クロムの増加とともに、酸素の活量は減少するが N_{FeO} が 0.04 以下になると、実験値もなく N_{FeO} が零に近づくにしたがい α_{FeO} がどのような値になるのか不明である。

FeO の活量とモル濃度との関係は次式によつて表わすことができる。

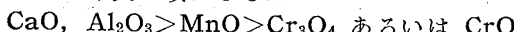
$$\alpha_{\text{FeO}} = \gamma_{\text{FeO}} \cdot N_{\text{FeO}}$$

γ_{FeO} に影響する因子としては、スラグ中で陰イオンとして働くシリカの飽和溶解度の変化、および陽イオンとして挙動する金属酸化物の化学的性質である。各酸化物成分の化学的性質を支配する最大の要因は金属イオンと酸素イオン間の結合の強さであり、この強さは塩基性を示す量としてよく知られている。本研究で取扱つた

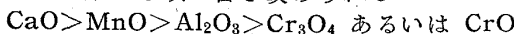
酸化物の塩基性の強さは次の順である。



添加酸化物により酸素溶解度の減少度は Fig. 2 からも明らかなごとく次の順になる。



Al_2O_3 が電離した場合には 3 倍の陽イオンになりここでイオン当量あたりの酸素溶解度の減少量をとれば上記の関係は次の順に書き改められる。



したがつて定性的には溶鉄中の酸素溶解度におよぼす金属酸化物の影響はその塩基度の強さに対応すると結論できる。したがつて γ_{FeO} に影響する因子として金属酸化物の塩基性の強さは当然であるが、しかし、さらに、陰イオンとして働くシリカの電離も重要である。スラグ中のイオン反応や電離度などは明らかでないが、Fig. 4 の Al-系の活量と濃度の関係は、よくその両性電解質としての挙動を示している。

5. 結 言

MO-FeO-SiO₂ 系スラグと溶鉄との平衡関係を 1600 °C につき調べ次の結果を得た。

- 1) 硅酸の飽和溶解度におよぼす金属酸化物の影響。
- 2) 各種金属酸化物がスラグ中に増加すると酸素の溶解度が減少する。

金属酸化物の塩基性としての強さと、酸素溶解度の減少度に相関関係があることを明らかにした。

- 3) FeO の活量におよぼす金属酸化物の影響は、金属酸化物の塩基性としての強さ、および硅酸イオンと関係があるがしかしその量的関係は明らかにし得なかつた。

文 献

- 1) 群司、大久保、斎井、徳永: 鉄と鋼, 50, (1964), p. 485.
- 2) 小島、佐野: 鉄と鋼, 50 (1964), p. 1836.
- 3) 小島、佐野: 鉄と鋼, 50 (1964), p. 22.
- 4) H. SCHENCK & G. WIESNER: Arc. Eisenhüttenw. 27 (1956), p. 1.
- 5) J. F. SCHAIRER & K. YAGI: Am. J. Sci., Bowen Volume p. 489 (1952) "Phase Diagram for Ceramists" p. 140, The American Ceramists Sci.
- 6) C. R. TAYLOR & J. CHIPMAN: Trans. Met. Soc., Amer. Inst. Min., Met. & Pet. Eng., 154 (1943), p. 228.
- 7) 坂尾、佐野: 日本国学会誌, 23 (1959), p. 236.
- 8) 沢村、荒木, 学振資料 19 委 4511, (1957).
- 9) J. CHIPMAN & R. WASCHWITZ: Trans. Met. Soc., Amer. Inst. Min., Met. & Pet. Eng. 227 (1963), p. 472.
- 10) 小島、佐野: 鉄と鋼, 投稿中 (1964 年 6 月 18 日受理).
- 11) 小島、佐野: 鉄と鋼, 50 (1964), p. 888.